

УДК 546.289.131+654.49

И. И. Сейфуллина, Н. В. ШматковаОдесский национальный университет имени И. И. Мечникова,
химический факультет, кафедра общей химии и полимеров
ул. Дворянская, 2, Одесса, 65082, Украина

НОВЫЙ ЭТАП В РАЗВИТИИ КООРДИНАЦИОННОЙ ХИМИИ АРОИЛ-(ПИРИДИНОИЛ)ГИДРАЗОНОВ ЗАМЕЩЁННЫХ БЕНЗ-(1-НАФТ)АЛЬДЕГИДОВ

В обзоре приведена информация о способах координации бензоил-(2-гидроксибензоил-, пиридиноил)гидразонов бенз-(2-гидроксибенз)альдегидов в комплексах с d-металлами. Обобщены результаты, проведенные авторами систематических исследований взаимодействия гидразонов замещенных бенз-(1-нафт)альдегидов с кислотами Льюиса – GeCl_4 , SnCl_4 в метаноле и ацетонитриле. Впервые синтезировано ~45 координационных соединений германия и олова (15 структур охарактеризовано методом PCA). Установлено влияние строения гидразидного (2-, 3-, 4-R-бензоил-(R = H, OH, NO₂, Cl, NH₂), α -, β -, γ -пиридиноил) и альдегидного (бенз-, 4-диметиламинобенз-, 2-гидроксибенз-, 2-гидрокси-1-нафт-) фрагментов молекулы гидразона, металла-комплексобразователя (Ge(IV) и Sn(IV)), природы растворителя (CH_3OH , CH_3CN) на состав, строение комплексов и форму координированного лиганда в них. Показана перспектива применения комплексов в качестве противовоспалительных и антимикробных препаратов.

Ключевые слова: кислота Льюиса (GeCl_4 , SnCl_4), германий(IV), олово(IV), гидразоны, координационные соединения.

Процессы комплексообразования гидразонов с ионами металлов различного электронного строения привлекают постоянно растущее внимание исследователей, работающих в области координационной химии. Объясняется это тем, что молекулы гидразонов наряду с азометиновым атомом азота содержат дополнительно другие функциональные группы. Поэтому в реакциях комплексообразования они проявляют себя как хелатирующие лиганды, способные в зависимости от условий менять как тautомерную форму, так и центры координации [1–4]. Наиболее ярко это продемонстрировано на примере d-металлов, в частности, были получены различные комплексы кобальта(II) и никеля(II) с бензоилгидразоном бензойного альдегида (рис. 1) [5, 6].

Характерно, что при наличии трёх и более донорных центров в молекуле гидразона и соответствующем их расположении появляется возможность образования полихелатных комплексов, отличающихся разнообразием альтернативных вариантов связывания комплексобразователя и лиганда. Так, при введении OH-группы в альдегидный фрагмент молекулы, растет разнообразие способов связывания метал – лиганд (рис. 2) в зависимости от электронного строения комплексобразователя и условий синтеза [3, 7–17]. При этом было обнаружено, что введение аналогичной группы в гидразидный фрагмент молекулы приводит к конкуренции за связывание с комплексобразователем. Так, с ионами меди связывается кислород гидразидного [18], а в комплексах цинка – альдегидного фрагмента [19, 20] (рис. 2).

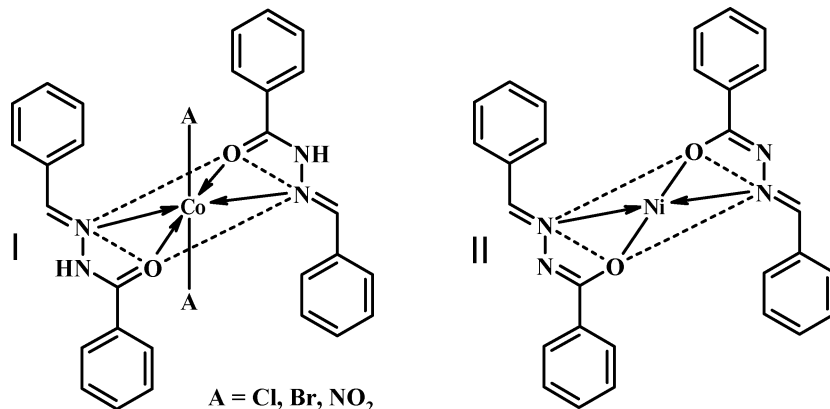


Рис 1. Схемы строения комплексов с имидной (I) и имидольной (II) формой лиганда

Пиридиноилгидразоны по сравнению с бензоил- содержат гетероциклические атомы азота, поэтому, помимо приведенных, для них характерны ещё и другие варианты связывания (рис. 2) [21–26]. Получено большое число самых разнообразных по строению, в том числеmono- и гетероядерных координационных соединений, которые нашли применение в качестве аналитических форм, красителей, катализаторов всевозможных технологических процессов, фармпрепаратов [8, 27–33]. Однако, несмотря на то, что комплексообразование различных гидразонов и свойства их комплексов являются предметом постоянных исследований многих лабораторий в различных странах мира, подавляющее большинство работ относится к d-металлам.

Актуальность такого исследования для p-элементов обусловлена необходимостью развития стереохимических представлений в области их координационной химии с полифункциональными лигандами типа бензоил-(пиридиноил)гидразонов ароматических альдегидов, которые, в соответствии с описанными выше свойствами, являются для этого удобными модельными системами. Более того, их молекулы содержат ароматические и гетероароматические фрагменты с сопряженными кратными связями, что позволяет прогнозировать их антиоксидантную активность и эффективность в качестве ловушек радикалов [8, 32].

На кафедре общей химии и полимеров ОНУ имени И. И. Мечникова в течение последних десяти лет проводится систематическое исследование в области координационной химии ароил-(пиридиноил)гидразонов и биологически активных p-элементов германия и олова [34–61]. Выбор последних обусловлен возможностью генерации новых потенциальных лекарственных средств, характеризующихся синергизмом действия лиганда и комплексообразователя [37, 43, 46, 53, 62–69]. К началу наших исследований информация о комплексообразовании германия(IV) с указанными лигандами практически отсутствовала, а для олова(IV) имелись данные только о комплексах органоолова [68, 70] и соединений, полученных в аprotонных средах (схема 1) [71–73].

Поэтому нами была сформулирована цель исследования: изучить реакции комплексообразования тетрахлоридов германия и олова с рассматриваемыми гидразонами в органических растворителях (метанол, ацетонитрил), сравнить их комплексообразующую способность, определить способы координации ли-

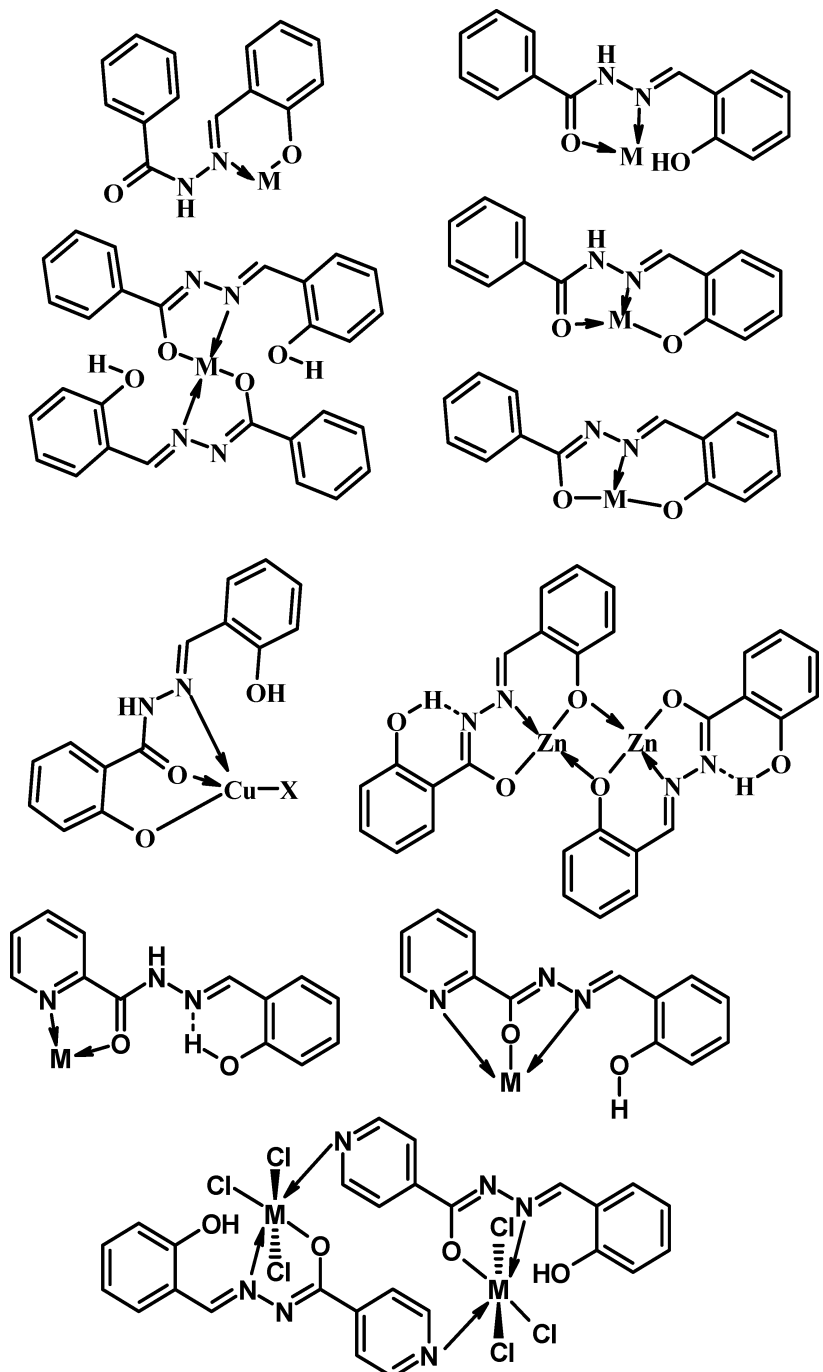


Рис. 2. Варианты связывания R-бензоил-(пиридиоил) гидразонов 2-гидроксибензальдегида ($R=H, OH$) с ионами металлов

гандов, пространственное строение образующихся комплексов, а также влияние органического растворителя на состав и свойства продуктов.

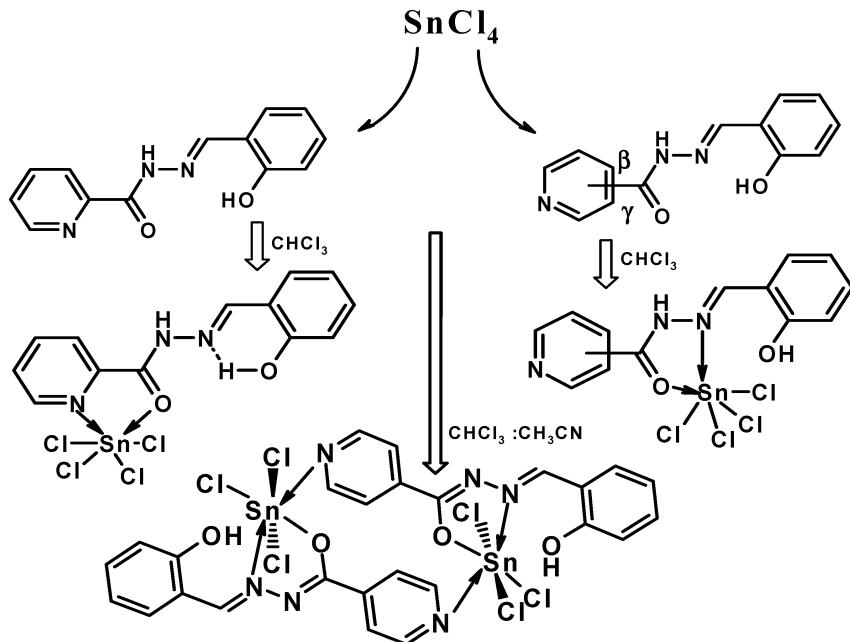


Схема 1

Предварительно реакцией конденсации по стандартным методикам [74] были получены и идентифицированы, частично в соответствии с литературными данными, исходные гидразоны [5, 6, 10, 13, 16, 21]. Следует отметить, что тетрахлориды германия и олова являются близкими по природе, физико-химическим свойствам кислотами Льюиса [75–77]. Они представляют собой тяжёлые дымящие на воздухе жидкости, склонные к гидролизу. Однако, в отличие от GeCl₄, гидролиз SnCl₄ протекает не полностью. Часть его, по мере накопления в растворе соляной кислоты, вступает с ней во взаимодействие с образованием гексахлороловянной кислоты [75–77]. Различия наблюдаются и в случае сольволовиза этих тетрахлоридов: с германием образуются продукты замещения (алокси), а с оловом – аддукты [78] (схема 2).

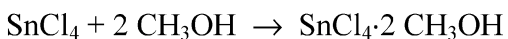
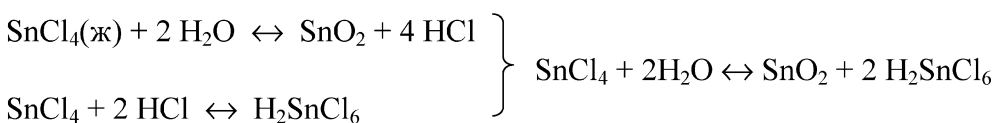
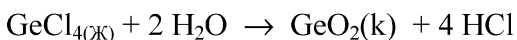


Схема 2

При исследовании взаимодействия GeCl_4 с различными 2-R-бензоил($\text{R}-\text{HBb}$, $\text{R} = \text{H}, \text{OH}, \text{Cl}, \text{NO}_2$)гидразонами бензальдегида в метаноле было установлено, что комплексы не образуются, а в случае NH_2-HBb и α -, β -, γ -пиридиноилгидразонов (HPb , HNb , HlB) выделяются соответствующие гидрохлориды гидразонов [40, 41]. Введение донорного заместителя (*para*- $\text{N}(\text{CH}_3)_2 - \text{R}-\text{HBdb}$) в альдегидный фрагмент молекул $\text{R}-\text{HBb}$ также не способствовало образованию комплексов Ge(IV) в метаноле.

Из ацетонитрила удалось получить только ряд оловянных комплексов с $\text{R}-\text{HBdb}$ ($\text{R} = \text{H}, \text{OH}$) одинакового эквимолярного состава с координационным узлом SnCl_4ON , в которых лиганд связывается с комплексообразователем бидентатно через азометиновый атом азота и кислород оксиазинной группы [59].

Исходя из теоретических предпосылок о том, что комплексообразованию должно способствовать увеличение дентатности лигандов [2], нами были выбраны в качестве лигандов те же замещенные бензоилгидразоны, но уже не бензальдегида, а 2-гидроксibenзальдегида ($\text{R}-\text{H}_2\text{Bs}$, $\text{R} = 2\text{-}; 3\text{-}; 4\text{-Cl}\text{-}, 2\text{-}; 3\text{-}; 4\text{-NO}_2\text{-}, 2\text{-}; 3\text{-}; 4\text{-OH}$), которые способны замыкать одновременно несколько металлоциклов.

Оказалось, что независимо от заместителя и его положения в гидразидном фрагменте молекулы гидразонов с GeCl_4 образуются устойчивые бисхелаты одинакового состава $\text{Ge} : \text{L} = 1:2$, неэлектролиты в растворе ДМФА [79], которые характеризуются высокой термической устойчивостью: $[\text{Ge}(\text{R-Bs})_2]$, $\text{R} = 2\text{-Cl(I)}, 3\text{-Cl(II)}, 4\text{-Cl(III)}; 2\text{-NO}_2(\text{IV}), 3\text{-NO}_2(\text{V}), 4\text{-NO}_2(\text{VI}); 2\text{-OH(VII)}, 3\text{-OH(VIII)}, 4\text{-OH(IX)}$ [34–36, 80]. Следует отметить, что в ряду хлор- и нитропроизводных вначале происходит плавление (при температурах 200(I), 240(II), 370(III)(\downarrow)°C и 300(IV), 310(V), 420(VI)(\downarrow)°C соответственно), а комплексы гидроксопроизводных плавятся с разложением: 380(VII), 360(VIII), 380(IX) ($\uparrow\downarrow$)°C.

В масс – спектрах всех комплексов присутствуют группы пиков молекулярных ионов, масса которых соответствует комплексным частицам $[\text{Ge}(\text{R-Bs})_2]^+$. При их фрагментации образуются осколочные ионы по схеме 3:

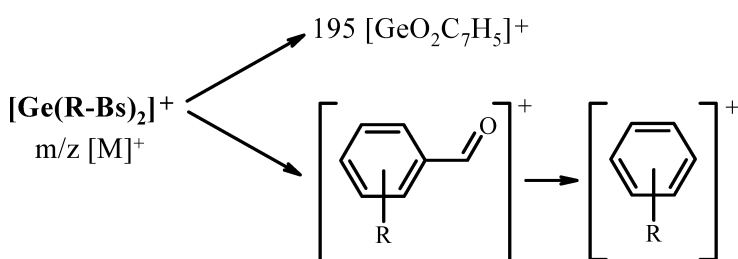


Схема 3

Полосы поглощения $\nu(\text{NH})$ и $\nu(\text{C=O})$, присутствующие в ИК спектрах гидразонов в области 3220–3170 cm^{-1} и 1680–1660 cm^{-1} , в спектрах комплексов отсутствуют. Что касается $\nu(\text{OH})$ (3400–3800 cm^{-1} в гидразонах), то она сохраняется только в спектрах комплексов (VII–IX) при 3390–3380 cm^{-1} . Также происходит смещение полосы $\nu(\text{Ph} - \text{O})$ в высокочастотную область на 20–30 cm^{-1} (1290–1295 cm^{-1} в гидразонах) и появляются полосы средней интенсивности, отнесенные к валентным колебаниям связей $\nu(\text{Ge}-\text{O}) = 665\text{--}675 \text{ cm}^{-1}$ и $\nu(\text{Ge}\leftarrow\text{N}) = 620\text{--}625 \text{ cm}^{-1}$ [81].

Из данных ИК спектров трудно было сделать вывод о способе координации 2-ОН-, 3-ОН-, 4-ОН- H_2 Bs, для этой цели были привлечены данные спектров ЯМР на ядрах 1H и ^{13}C (табл. 1, 2).

Таблица 1
Данные спектров ЯМР 1H гидразонов R- H_2 Bs (R= 2- NO₂, 2- OH, 2-NH₂)

Соединение	$\delta(OH)$, м. д., с	$\delta(NH)$, м. д., с	$\delta(CH=N)$, м. д., с	$H_{\text{аром}}$, м.д.	Другие сигналы
2-NO ₂ - H_2 Bs	12,247	10,954	8,510	8,181 (1H), 7,827–7,584 (3H), 7,323 (1H), 6,936 (2H), 6,748(1H)	
2-OH- H_2 Bs	12,034	11,772	8,686	7,881 (1H), 7,557 (1H), 7,460 (1H), 7,322 (1H), 7,006–6,910 (4H)	11,191, 1H, OH
2-NH ₂ - H_2 Bs	11,889	11,505	8,584	7,593 (1H), 7,484 (1H), 7,299 (1H), 7,226 (1H), 6,900 (2H), 6,767 (1H), 6,593 (1H)	6,512, 2H, NH ₂

Сигналы протонов альдегидной гидроксогруппы и амидной в спектрах ЯМР 1H комплексов [Ge(R-Bs)₂] (R= 2- NO₂(IV), 2- OH(VII)) исчезают, а сигнал азометинового протона сдвигается в слабое поле до 9.365 м. д (IV) и 9.622 м. д. (VII) по сравнению с исходными гидразонами (табл. 1). Обнаруженный сигнал в спектрах 2-OH- H_2 Bs (11,191 м. д.) и соответствующего комплекса (11,127 м. д. – VII) по сравнению с другими соединениями был отнесен к сигналу OH-группы гидразидного фрагмента.

Отсутствие координации с этой группой дополнительно было доказано сравнением спектров ЯМР ^{13}C гидроксо- и нитропроизводных. Обнаружено, что сигналы углеродов групп, участвующих в координации с германием смешаются в слабое поле (табл. 2). При этом сигналы групп гидразидного фрагмента C-NO₂ и C-OH лигандов (147,20 м. д. и 158,918 м. д. соответственно) практически не претерпевают изменений при комплексообразовании и проявляются в спектрах комплексов в области 158,853 м. д. и 148,84 м. д.

Таблица 2
Величины химических сдвигов (δ , м. д.) в спектрах ЯМР ^{13}C

Соединение	HC=N	-C=O / =C-O	(C _{Ar} -OH)	(C _{Ar} -R)
2-OH- H_2 Bs	148,979	164,448	157,443	158,918
[Ge(2-OH-Bs) ₂]	160,380	166,170	161,465	158,853
2-NO ₂ - H_2 Bs	148,326	161,668	156,505	147,20
[Ge(2-NO ₂ -Bs) ₂]	161,755	163,969	161,160	148,84

Аналогия в характере ИК спектров комплексов I–IX и 1H , ^{13}C ЯМР спектров IV, VII позволили сделать вывод, что в комплексах I–IX происходит тридентатно-циклическая координация имидольной формы лиганда с замыканием двух сопряженных циклов (рис. 3). Следует отметить, что отсутствие координации с кислородом гидразидной гидроксогруппы подтверждается и полуэмпирическим квантово-химическим расчетом методом РМ 3 эффективных зарядов на предполагаемых центрах координации (рис. 4):

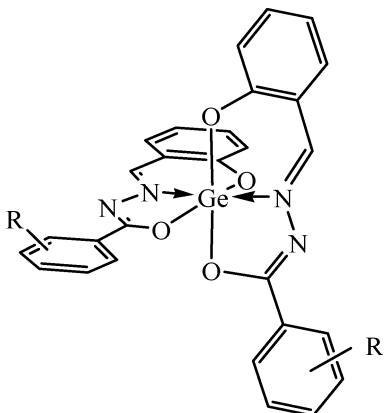


Рис. 3. Схема строения комплексов германия (IV) с R-бензоилгидразонами

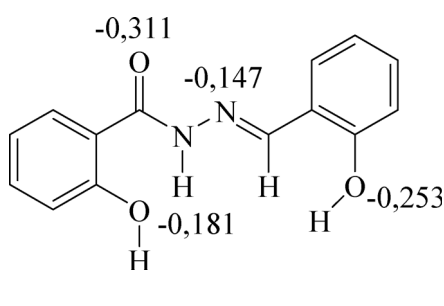


Рис. 4. Расчёт эффективных зарядов в молекуле 2-OH-H₂Bs

Дальнейшее исследование было проведено на примере взаимодействия GeCl₄ с аминозамещёнными бензоилгидразонами 2-гидроксибензальдегида (R-H₂Bs, R = 2-,3-,4-NH₂) в метаноле [51, 80]. Полученные продукты X–XII в отличие от вышеописанных соединений I–IX содержали хлор. Их электропроводность в ДМФА соответствовала трёхионным электролитам ($\lambda = 160\text{--}170 \text{ Ом}^{-1}\text{см}^2\text{моль}^{-1}$) [79].

Масс-спектры X–XII содержали пики иона хлороводорода с m/z 36 и комплексных ионов с m/z 580 [Ge(R-Bs)₂]⁺ (R = 2-,3-,4-NH₂). Начало разложения комплексов происходило в интервале температур 160–215°C и сопровождалось эндо-эффектом удаления двух молей HCl. Затем комплексы были стабильны вплоть до t ~360°C. Последующая деструкция и высокотемпературное выгорание органической части молекулы сопровождалось рядом эндо- и экзоэффектов при t_{max} ~360–370 (↑), 400–415 (↓) и 600–630 (↑) с образованием GeO₂.

Сравнительный анализ ИК спектров 2-,3-,4-NH₂-H₂Bs и соответствующих комплексов показал, что в области 3410–3390(v(OH)), 3360–3320(v(Ar-NH₂)) и 3230–3170 cm⁻¹ (v(NH)) у последних была обнаружена только полоса валентных колебаний v(Ar-NH₂) при 3340–3320 cm⁻¹. При этом в интервале частот области 1660–1595 cm⁻¹ исчезла полоса v(C=O) = 1660–1650 cm⁻¹, сохранилась σ(Ar-NH₂) = 1620 cm⁻¹ и появилась новая — скелетных колебаний фрагмента >C=N-N=C< при 1605–1600 cm⁻¹. Наряду с этим произошло смещение в высокочастотную область v(Ph-O) в спектрах комплексов на 20 cm⁻¹ (1290 cm⁻¹ в гидразонах) и появление новой полосы валентных колебаний v(Ge-O) = 680 cm⁻¹. Указанные изменения свидетельствуют о том, что лиганды в комплексах координируются в дважды депротонированной форме с образованием связей германия с кислородами оксиазинной и депротонированной гидроксигруппы. Это нашло подтверждение в данных, полученных методом ¹H ЯМР спектроскопии. Так, в спектре комплекса (X) отсутствуют сигналы протонов групп OH-, NH- и происходит смещение в слабое поле сигнала протона (-CH=N)-групп, наблюдающихся в спектре гидразона 2-NH₂-H₂Bs (табл. 1). Особенно интересен факт смещения сигнала протонов группы Ar-NH₂ (в спектре 2-NH₂-H₂Bs при 6,512 м. д., а в спектре комплекса при 5,05 м. д.), вызванный обменным взаимодействием NH₃⁺ с H₂O растворителя.

Из совокупности приведенных данных следовало, что валентное насыщение Ge(IV) произошло за счёт тридентатной координации двух молекул лигандов: $[Ge(R\text{-Bs}\cdot HCl)_2]$, R = 2- $NH_2(X)$, 3- $NH_2(XI)$, 4- $NH_2(XII)$. Таким образом, наличие ионов хлора в составе комплексов можно было объяснить только протонированием амино-группы гидразидного фрагмента хлороводородом, который присутствовал в реакционной среде вследствие сольволиза $GeCl_4$ по схеме 2 (стр. 8).

Удалить хлороводород и получить комплексы, содержащие лиганды не в солевой форме, удалось взаимодействием исходных (X–XII) с метанолом или этанолом. Кристалл $[Ge(2-NH_2-Bs)_2]\cdot 0.5C_2H_5OH$, полученный таким образом на основе комплекса (X) был подвергнут РСА (рис. 5, 6) [48, 80]. В его октаэдрическом координационном полигидре $\{GeO_4N_2\}$ длина связи $Ge-O(1)$ -окси (1,868 Å) на 0,032 Å короче, чем $Ge-O(2)$ -оксиазин (1,900 Å). Связи в оксиазиновом фрагменте $O(2)-C(8)-N(2)$ выровнены по длине из-за вовлечения кислорода $O(2)$ в координацию, а связь $C(8)-N(2)$, равная 1,332 Å, длиннее азометиновой $N(1)-C(1)$ (1,249 Å) (рис. 5).

Образующаяся внутримолекулярная водородная связь $N(3)-H(3B)\dots N(2)$ (расстояние $H(3B)\dots N(2)$ 2,03 Å) и угол $N(3)-H(3B)-N(2)$ 131° определяет ориентацию лигандов во внутренней сфере и объединяет фрагменты их молекул с пятичленной системой, которая «перегнута» по связи $N(2)-C(8)$ на 14,9°.

В структуре молекулы $Ge(2-NH_2-Bs)_2$ объединяются в слои за счет межмолекулярной водородной связи окси-группы $O(1)$ одной молекулы с водородом амино-группы $H(3A)-N(3)$ другой (расстояние $H(3A)\dots O(1)$ равно 2,24 Å, угол $O(1)-H(3A)-N(3)$ 160(3)°). В каждом слое образуются достаточно объемные четырехугольные полости, в которых располагаются разупорядоченные сольватные молекулы спирта без специфических контактов с молекулами $[Ge(2-NH_2-Bs)_2]$ (рис. 6).

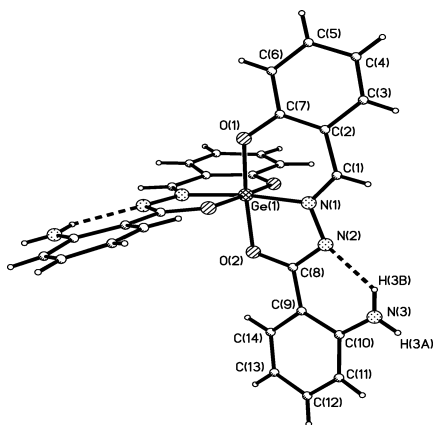


Рис. 5. Строение комплексной молекулы $[Ge(2-NH_2-Bs)_2]$

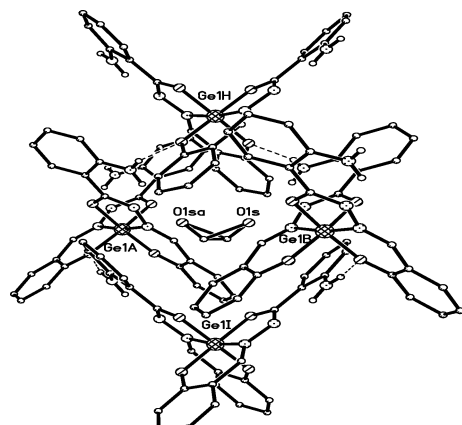


Рис. 6. Строение слоёв молекул $[Ge(2-NH_2-Bs)_2]\cdot 0.5C_2H_5OH$

Следует отметить, что ПМР спектры $[Ge(2-NH_2-Bs\cdot HCl)_2](X)$ и $[Ge(2-NH_2-Bs)_2]$ отличаются только в области сигналов протонов группы $Ar-NH_2$ – в спектре последнего они смешаются в сильное поле по сравнению с гидразоном и участвуют в обменном взаимодействии с протонами ароматического кольца.

Итак, во всех рассмотренных комплексах (**I–XII**) заместители в гидразидном фрагменте не участвуют в координации с германием и не оказывают влияния на состав комплексов, а также на форму и способ координации лиганда. Только в случае амино-замещенных происходит протонирование амино-группы.

Для сравнения комплексообразующей способности GeCl_4 и SnCl_4 по отношению к рассматриваемым лигандам нами был выбран 2-аминобензоилгидразон 2-гидроксибензальдегида, т. к. структура его комплекса с германием была установлена. В аналогичных условиях при взаимодействии SnCl_4 с указанным гидразоном в метаноле в отличие от германия было получено два продукта: первый представлял собой органическое соединение (рис. 7) ($m/z = 359 [M]^+ = [\text{C}_{21}\text{H}_{17}\text{N}_3\text{O}_3]^+$), второй продукт – это комплекс $[\text{SnCl}_3(2-\text{NH}_2-\text{Bs}\cdot\text{H})]\cdot 2\text{CH}_3\text{OH}$ (**XIII**) (рис. 8), в котором мольное соотношение $\text{Sn} : \text{L}$ составило 1 : 1, а не 1 : 2, как в случае комплексов германия (**X–XII**). Структуры этих соединений были доказаны РСА [59].

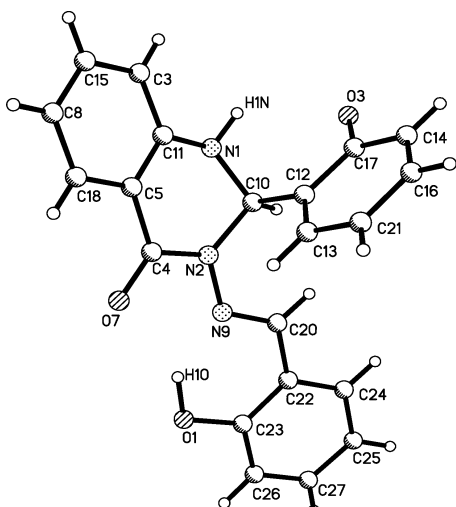


Рис. 7. Строение молекулы валового состава $\text{C}_{21}\text{H}_{17}\text{N}_3\text{O}_3$

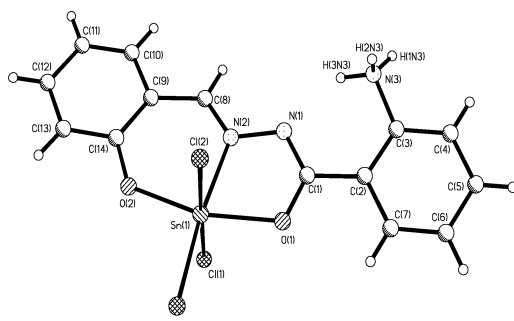


Рис. 8. Длины связей и строение комплексной молекулы $[\text{SnCl}_3(2-\text{NH}_2-\text{Bs}\cdot\text{H})]$ в составе (**XIII**)

Установлено, что в комплексах **X**, **XIII** реализуется одинаковая тридентатноциклическая координация енольной формы гидразона, однако дополнение координационного числа комплексообразователя до шести происходит в случае олова (**XIII**), в отличие от германия (**X**), за счет трех хлоридных ионов. Длины связей в октаэдрическом полиэдре олова равны: $\text{Sn}-\text{Cl}(1)_{\text{акс}} = 2,427 \text{ \AA}$, $\text{Sn}-\text{Cl}(2)_{\text{акс}} = 2,439 \text{ \AA}$, $\text{Sn}-\text{Cl}(3)_{\text{экват}} = 2,352 \text{ \AA}$, $\text{Sn}-\text{O}(1) = 2,077 \text{ \AA}$, $\text{Sn}-\text{O}(2) = 2,014 \text{ \AA}$, $\text{Sn}-\text{N}(2) = 2,150 \text{ \AA}$. При этом отрицательный заряд, сосредоточенный на его координационном узле компенсируется положительным протонированной аминогруппы гидразона, не связанной с оловом. Протоны аминогруппы участвуют в образовании водородных связей: одной внутримолекулярной (с иминным атомом азота) и двумя межмолекулярными (с кислородами сольватных молекул метанола). Последние выполняют роль мостиков, что обуславливает слоистую кристаллическую структуру.

Дальнейшее сравнение комплексообразующей способности GeCl_4 и SnCl_4 было осуществлено на примере их взаимодействия с пиридиноилгидразонами 2-гидроксибензальдегида (H_2Ls : $\alpha - \text{H}_2\text{Ps}$, $\beta - \text{H}_2\text{Ns}$, $\gamma - \text{H}_2\text{Is}$) в метаноле [39, 40, 45, 50, 52, 57, 59]. В табл. 3 приведена информация о составах полученных комплексов XIV–XXI, типе их электролитической диссоциации и поведении под действием электронного удара.

Таблица 3
Физико-химическая характеристика комплексов XIV–XXI

$[\text{GeCl}_2(\text{Ps}\cdot\text{HCl})\cdot\text{CH}_3\text{OH}](\text{XIV})$ $36 [\text{HCl}]^+ 383[\text{GeCl}_2(\text{Ps})]^+$ $\lambda_{\text{ДМФА}} = 216,0$	$[\text{GeCl}_2(\text{Ns}\cdot\text{HCl})\cdot\text{CH}_3\text{OH}](\text{XVI})$ $36 [\text{HCl}]^+ 383[\text{GeCl}_2(\text{Ns})]^+$ $\lambda_{\text{ДМФА}} = 220,0$	
$[\text{Ge}(\text{Ps}\cdot\text{HCl})_2](\text{XV})$ $36 [\text{HCl}]^+ 552[\text{Ge}(\text{Ps})_2]^+$ $\lambda_{\text{ДМФА}} = 165,0$	$[\text{Ge}(\text{Ns}\cdot\text{HCl})_2](\text{XVII})$ $36 [\text{HCl}]^+ 552[\text{Ge}(\text{Ns})_2]^+$ $\lambda_{\text{ДМФА}} = 158,0$	$[\text{Ge}(\text{Is}\cdot\text{HCl})_2](\text{XVIII})$ $36 [\text{HCl}]^+ 552[\text{Ge}(\text{Is})_2]^+$ $\lambda_{\text{ДМФА}} = 170,0$
$[\text{SnCl}_3(\text{Ps}\cdot\text{H})](\text{XIX})$ $36 [\text{HCl}]^+ 429[\text{SnCl}_2(\text{Ps})]^+$ $\lambda_{\text{ДМФА}} = 39,5$	$[\text{SnCl}_3(\text{Ns}\cdot\text{H})](\text{XX})$ $36 [\text{HCl}]^+ 429[\text{SnCl}_2(\text{Ns})]^+$ $\lambda_{\text{ДМФА}} = 38,2$	$[\text{SnCl}_3(\text{Is}\cdot\text{H})](\text{XXI})$ $36 [\text{HCl}]^+ 429[\text{SnCl}_2(\text{Is})]^+$ $\lambda_{\text{ДМФА}} = 39,0$

Из таблицы видно, что в зависимости от положения гетероциклического азота с германием образуются комплексы разного состава: 1 : 1 и 1 : 2 для пиколиноил- и никотиноилгидразонов (XIV–XVII) и только 1 : 2 для изоникотиноилгидразона (XVIII) [80]. В случае олова образуются только комплексы одинакового эквимолярного состава – (XIX–XXI). При этом оказалось, что в электронных спектрах всех комплексов, по сравнению с гидразонами, наблюдается однотипный батохромный сдвиг всех полос, в том числе обусловленных переносом заряда внутрилигандных переходов $\pi \rightarrow \pi^*$ азометиновой связи (300–400 нм [82]), что свидетельствует об одинаковом перераспределении электронной плотности в молекулах лигандов при координации.

В масс-спектрах эквимолярных комплексов XIV, XVI и XIX–XXI, в отличие от бисхелатов XV, XVII, XVIII отсутствовали молекулярные ионы, но были обнаружены – $36[\text{HCl}]^+$ и металлсодержащих частиц $[\text{MCl}_2(\text{Ls})]^+$ ($\text{M}=\text{Ge}, \text{Sn}$). Однако, при этом оказалось, что эквимолярные комплексы германия и олова резко отличаются по свойствам.

Оловянные XIX–XXI – неэлектролиты в растворе ДМФА, устойчивые к сольволизу, хлоридные ионы входят во внутреннюю координационную сферу. В отличие от них для германиевых комплексов XIV, XVI наблюдался рост электропроводности во времени до значений λ , характерных для четырехионных электролитов [79]. Начальная стадия термолиза этих комплексов одинаковая – дегидрохлорирование, но в случае олова оно происходит при значительно более высоких температурах. Затем оловянные комплексы устойчивы до $t = 380^\circ\text{C}$, а для германиевых уже в интервале 190–250°C начинается ступенчатая окислительная деструкция.

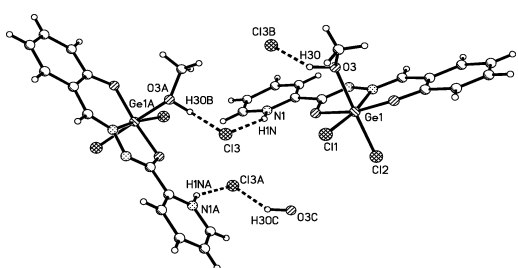
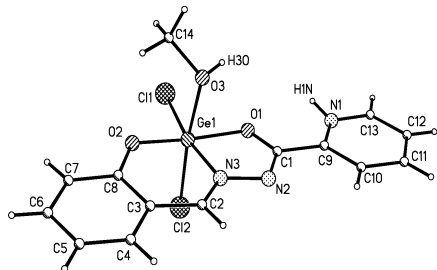
Таблица 4

Полосы поглощения в электронных спектрах H_2Ps и соответствующих комплексов

Соединение	λ_{max} , нм ($\epsilon \cdot 10^{-3}$) полос		
	пиридинамида	салицилальдимина	
H_2Ps	295,0 (29,2)	305,0 (28,5)	350,0 (21,5)
$[\text{GeCl}_2(\text{Ps}\cdot\text{HCl})\cdot\text{CH}_3\text{OH}](\text{XIV})$	326,2 (22,8)	341,0 (23,1)	400,0 (10,1)
$[\text{Ge}(\text{Ps}\cdot\text{HCl})_2]$ (XV)	326,0 (24,7)	341,7 (23,0)	401,3 (17,5)
$[\text{SnCl}_3(\text{Ps}\cdot\text{H})]$ (XIX)	323,3 (6,45)	336,4 (5,8)	394 (10,5)

Окончательный вывод о различии в строении (XIV, XVI) и (XIX–XXI) был сделан в результате сравнения структур комплексов германия и олова с пиколиногидразоном салицилового альдегида. Кристаллы сольватированного метанолом комплекса германия $[\text{GeCl}_2(\text{CH}_3\text{OH})(\text{Ps}\cdot\text{HCl})]\cdot 0,5\text{CH}_3\text{OH}$ (XIV), относятся к ионному типу и состоят из изолированных катионов $(\text{GeCl}_2(\text{CH}_3\text{OH})(\text{Ps}\cdot\text{H}))^+$, анионов Cl^- и разупорядоченных молекул метанола (рис. 9).

Координация атома Ge октаэдрическая – $\{\text{GeCl}_2\text{O}_3\text{N}\}$. В плоскости: Cl(1), O(1)-пиколинового остатка, N(3) азометиновой группы и O(2) салицилого остатка; аксиально расположены: O(3) молекулы метанола и Cl(2). Аксиальные связи длиннее аналогичных экваториальных (рис. 10). Трициклическая система плоская (в пределах $\pm 0,038$ Å) и копланарна с Ру-кольцом (двугранный угол 4,4°). Двойные связи в системе $-\text{C}(2)=\text{N}(3)-\text{N}(2)=\text{C}(1)-\text{O}(1)$ локализованы и равны 1,291 и 1,276 Å, а длина C(1)-O(1)=1,306 Å, значительно больше стандартного значения d(C=O)=1,265 Å, что соответствует имидольной форме координированного лиганда.

Рис.9. Внутрииммакулярные контакты комплексных частиц $\{(GeCl_2(CH_3OH)(Ps\cdot HCl))_n\}_n$ Рис. 10. Структура катиона $(\text{GeCl}_2(\text{CH}_3\text{OH})(\text{Ps}\cdot\text{H}))^+$

В отличие от германиевого, координационный полиэдр соответствующего оловянного комплекса (XIX) формируется за счет трёх хлорид-ионов, азометинового атома азота N(3) и двух кислородов – оксиазинной O(1) и депротонированной гидроксигруппы O(2) лиганда. Реализуется искаженный октаэдр. Аксиальные связи Sn(1)-Cl(1) и Sn(1)-Cl(3) длиннее экваториальных (рис. 11). Следует отметить, что длина связи N-N (1,388 Å) в (XIX) меньше как стандартного значения N(sp²)-N(sp³) = 1,401 Å, так и её длины в аналогичном комплексе германия (XIV) (1,404 Å). При этом произошло удлинение связи C(6) = N(2) (1,307 Å) фрагмента N(2) = C(6)-O(1) по сравнению с азометиновой связью (d(N(3)-C(7)) = 1,287 Å). В целом длины связей в оксиазиновом фрагменте также соответствуют имидоль-

ной форме координируемого лиганда. Отрицательный заряд, сосредоточенный на координационном узле олова, компенсируется катионной формой лиганда, образование которой происходит в результате протонирования гетероциклического атома азота N(1). Наличие этого протона обуславливает образование водородной связи с сольватированной молекулой метанола CO(1s).

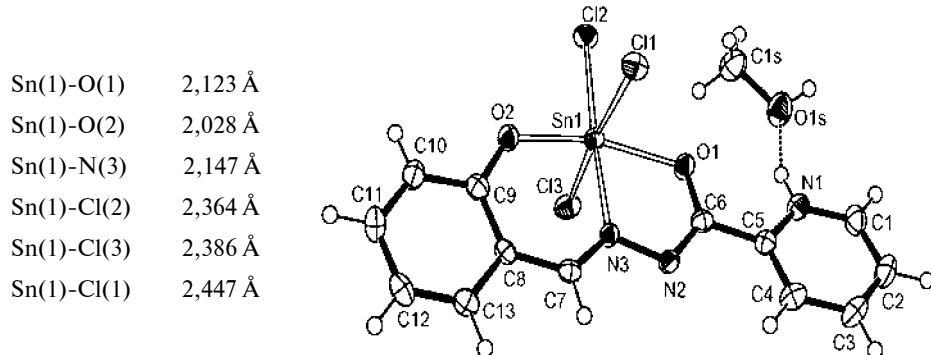


Рис. 11. Строение $[\text{SnCl}_3(\text{Ps}\text{-H})] \cdot \text{CH}_3\text{OH}$ (XIX) и длины связей в координационном узле

Итак, общим для рассмотренных комплексов германия и олова является одинаковая тридентатная координация протонированного по N(Py) гидразона, но различная, как показано выше, компенсация возникающего при этом положительного заряда, что, видимо, обусловлено меньшей склонностью SnCl_4 по сравнению с GeCl_4 к сольволизу в метаноле. С учётом полученных структурных данных для этих комплексов различный механизм их дегидрохлорирования может быть представлен следующей схемой 4:

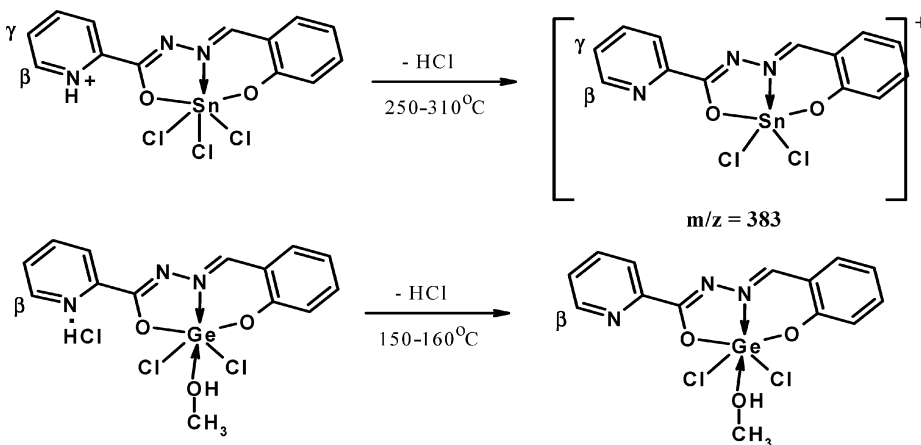


Схема 4

Влияние альдегидного фрагмента молекулы гидразона на состав и строение образующихся соединений было прослежено в результате исследования комплексообразования GeCl_4 и SnCl_4 с пиридиноилгидразонами 2-гидрокси-1-нафтильдегида (H_2Lnf : $\alpha - \text{H}_2\text{Pnf}$, $\beta - \text{H}_2\text{Nnf}$, $\gamma - \text{H}_2\text{Inf}$) в метаноле и ацетонитриле [40, 55–61].

Вначале из метанола были выделены комплексы германия $[Ge(Pnf\cdot HCl)_2] \cdot 2H_2O$ (**XXII**), $[Ge(Nnf\cdot HCl)_2] \cdot 5H_2O$ (**XXIII**), $[Ge(Inf\cdot HCl)_2] \cdot 5H_2O$ (**XXIV**). Они по мольному соотношению Ge : L отличались от соответствующих комплексов (**XIV**, **XVI**) с гидразонами салицилового альдегида [39, 50], что, вероятно, обусловлено различными стерическими напряжениями, возникающими при размещении донорных атомов этих лигандов по вершинам полиэдра германия. Комплексы (**XXII–XXIV**) представляют собой трехионные электролиты. Их термолиз протекал однотипно многостадийно: дегидратация (в интервале температур ~ 50 – $150^\circ C$), дегидрохлорирование (~ 130 – $300^\circ C$), а затем интервал стабильности вплоть до 430 – $440^\circ C$. В итоге – окислительная термодеструкция с образованием конечного продукта GeO_2 .

Комплексы устойчивы под действием электронного удара. В их масс-спектрах были обнаружены пики хлороводорода с m/z 36 и комплексных ионов с m/z 652[$Ge(Lnf)_2$] $^+$. Координация лигандов в них была установлена методами спектроскопии ИК и 1H ЯМР. Так, в ИК-спектрах (**XXII–XXIV**) отсутствовали полосы $\nu(OH)$, $\nu(NH)$ и $\nu(C=O)$ (в спектрах гидразонов 3390–3360, 3240–3180 и 1680–1640 cm^{-1} соответственно), произошло смещение полосы деформационных колебаний пиридинового кольца в высокочастотную область на 10–15 cm^{-1} (в гидразонах $\delta_{py} = 995$ –990, 410–400 cm^{-1}). При этом было обнаружено появление новых полос $\nu(Ge-O) \sim 670$ –680 cm^{-1} , $\nu(Ge \leftarrow N) \sim 620$ –640 cm^{-1} . В их ПМР-спектрах зафиксированы, по сравнению с лигандами (табл. 5), следующие различия: смещение в слабое поле сигнала протона ($N=CH$)-группы на 0,6–1,2 м. д. и исчезновение сигналов протонов групп $Ar-OH$ и $NH-C=O$.

Такие изменения в спектрах (**XXII–XXIV**) по сравнению с лигандами соответствуют их протонированной по азоту пиридинового кольца форме, координированной тридентатно циклически через азометиновый атом азота и кислороды оксиазинной и оксигрупп.

Таблица 5
Величины химических сдвигов (δ, м. д.) сигналов протонов функциональных групп в спектрах ЯМР 1H гидразонов и комплексов **XXII–XXIV**

The figure shows the chemical structures of three hydrazone ligands: α-(H₂Pnf), β-(H₂Nnf), and γ-(H₂Inf). The α-ligand has a phenyl ring at the γ-position. The β-ligand has a naphthalene ring at the γ-position. The γ-ligand has a phenyl ring at the β-position. Each ligand has a pyridine ring substituted with a carbonyl group and a hydrazone group (-NH-N=C=O-).

The coordination mode of these ligands to Ge(IV) is shown as a trisubstituted ethane-like complex. The central Ge atom is coordinated to three nitrogen atoms (from the pyridine rings) and one oxygen atom (from the carbonyl group of the hydrazone group). The fourth position of the pyridine ring is also coordinated to the Ge atom. The ligands are labeled with α, β, or γ to indicate their position relative to the phenyl ring.

Гидразоны	δ(OH)	δ(NH)	δ(CH=N)	Комpleксы	δ(CH=N)
α-(H ₂ Pnf)	13,28	12,8	10,15	XXII	10,53
β-(H ₂ Nnf)	13,05	12,59	9,83	XXIII	10,25
γ-(H ₂ Inf)	13,0	12,64	9,84	XXIV	10,57

В результате РСА комплекса с изоникотиноилгидразоном – $[Ge(Inf\cdot HCl)_2] \cdot 5H_2O$ (**XIV**), была подтверждена описанная ONO-координация [58]. В данной структуре атом германия координирован двумя тридентантными органическими лигандами (рис. 12, 13). Координационный полиэдр германия представляет собой немного искаженный октаэдр: четыре аксиальные связи с атомами кислорода и две экваториальные с атомами азота, которые, по всей видимости, можно рассматривать как гипервалентные.

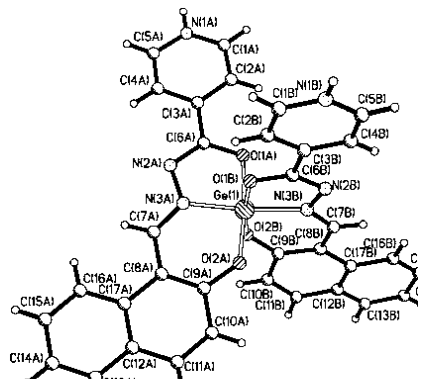


Рис. 12. Строение молекулы $[Ge(Inf\cdot H)_2]$ в комплексе $[Ge(Inf\cdot HCl)_2]\cdot 5H_2O$

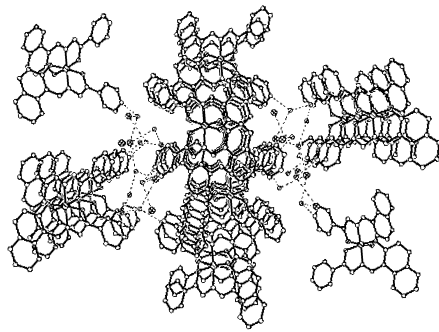


Рис. 13. Кристаллическая структура комплекса $[Ge(Inf\cdot HCl)_2]\cdot 5H_2O$

Связи атома германия с атомами кислорода O(1) и O(2) не эквивалентны. Так, наблюдается удлинение связей Ge(1A)-O(1A) до 1,902(2) Å и Ge(1)-O(1B) до 1,904(2) Å по сравнению с Ge(1)-O(2A) = 1,848(2) Å и Ge(1)-O(2B) = 1,856(2) Å, которое сопровождается укорочением связей O(1A)-C(6A) до 1,319(3) Å и O(1B)-C(6B), 1,311(4) Å по сравнению с O(2A)-C(9A) = 1,333(3) Å и O(2B)-C(9B) = 1,323(4) Å.

Пятичленные циклы Ge(1)-O(1)-C(6)-N(3)-N(2) плоские, а шестичленные – Ge(1)-N(3)-C(7)-C(8)-C(9)-O(2) находятся в конформации уплощенная софа. Также наблюдается значительное разуплощление нафтилинового фрагмента, видимо, из-за сильно укороченного внутримолекулярного контакта H(7)...H(16) 1,98 Å (**A**), 2,01 Å (**B**) (сумма вандерваальсовых радиусов 2,32 Å). Лиганды протонированы по атому азота пиридинового цикла.

В кристаллах молекулы комплекса образуют сетки, в полостях между которыми находятся молекулы воды и анионы хлора, которые связаны между собой и с лигандами водородными связями (рис. 13).

В дальнейшем оказалось, что продукты взаимодействия $GeCl_4$ с R-бензоил- (R = 2- Cl-, -NO₂, -OH, -NH₂) и пиридиноилгидразонами 2-гидроксибенз-(1-нафт)альдегидов, выделенные из ацетонитрила и охарактеризованные совокупностью физико-химических методов исследования, идентичны комплексам германия, ранее полученным с данными лигандами в метаноле.

В продолжение этих исследований нами варьированием условий синтеза: температура, время, концентрация компонентов, растворители (метанол, ацетонитрил) были получены и охарактеризованы физико-химическими методами ряд комплексов олова (**XXV–XXVII**) с гидразонами 2-гидрокси-1-нафтальдегида (H_2Lnf) (схема 5) [57, 59–61].

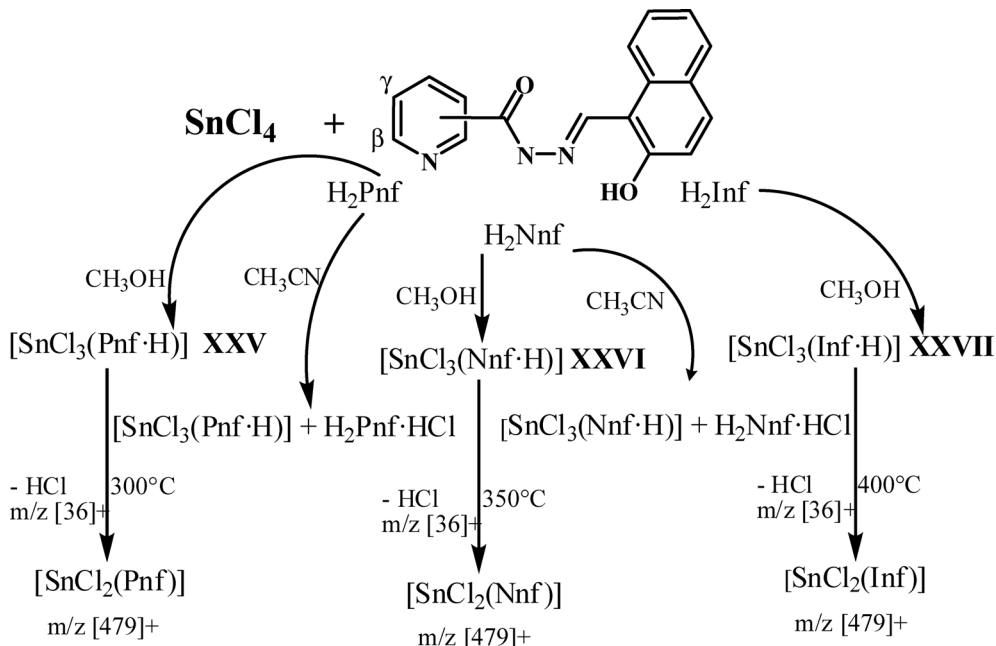


Схема 5

Как видно из схемы, комплексы, выделенные из метанола по составу и форме лиганда практически идентичны, полученным в аналогичных условиях комплексам олова с гидразонами 2-гидроксибензальдегида (**XIX–XXI**). Комpleксы с α - β -пиридиноилгидразонами идентичные с **XXV**, **XXVI** были выделены также из ацетонитрила.

В (**XXV–XXVII**), что показано на примере РСА комплекса с α -пиридиноилгидразоном $[\text{SnCl}_3(\text{Pnf}\cdot\text{H})]\cdot\text{CH}_3\text{OH}$ (рис. 14), наблюдается тот же, что и в (**XIX–XXI**) координационный узел $\{\text{SnCl}_3\text{NO}_2\}$, искаженный октаэдр, протонированный азот гетероцикла, протон которого связан водородной связью с сольватной молекулой метанола, а также имидольная форма лиганда, координированная тридентатноциклически через азометиновый атом азота и кислороды оксиазинной и окси-групп.

Комплексы (**XXV–XXVII**) оказались устойчивы в ДМФА. При их перекристаллизации из смеси метанол : ДМФА = 1: 3 были получены диметилформамидные сольваты тех же комплексных молекул, что показано на примере РСА $[\text{SnCl}_3(\text{Nnf}\cdot\text{H})]\cdot2\text{ДМФА}$ (рис. 15).

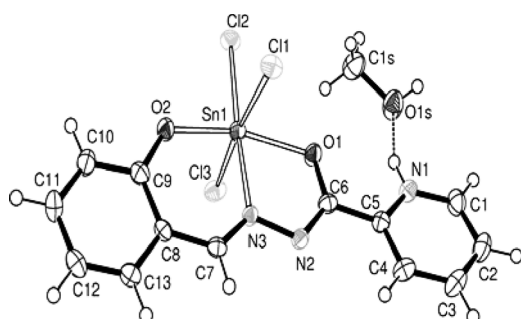
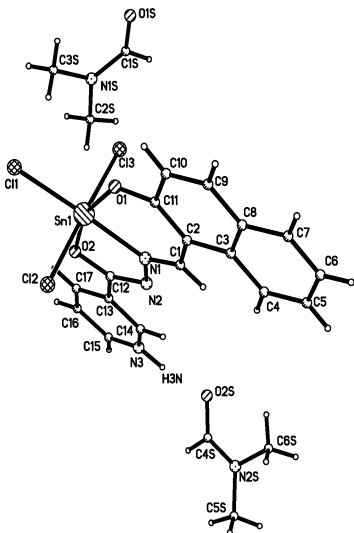
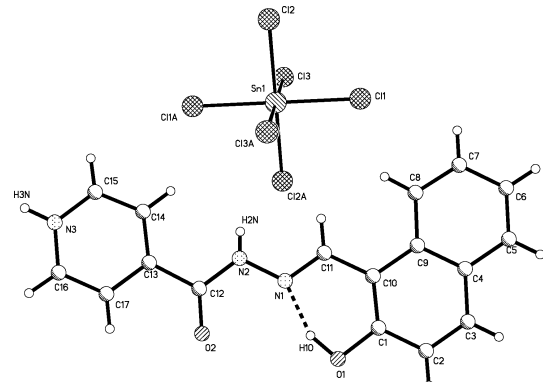


Рис. 14. Кристаллическая структура $[\text{SnCl}_3(\text{Pnf}\cdot\text{H})]\cdot\text{CH}_3\text{OH}$

Рис. 15. Кристаллическая структура $[\text{SnCl}_3(\text{Nnf-H})] \cdot 2\text{ДМФА}$ Рис. 16. Фрагмент структуры $[\text{H}_2\text{Inf}\cdot\text{H}]_2[\text{SnCl}_6]$

Неожиданный результат был получен при изучении комплексообразования SnCl_4 в ацетонитриле с изоникотиноилгидразоном: было выделено два продукта, один из которых хлористоводородная соль $\text{H}_2\text{Inf}\cdot\text{HCl}$, а второй комплекс катион-анионного типа $[\text{H}_2\text{Inf}\cdot\text{H}]_2[\text{SnCl}_6]$ (**XXVIII**) – ониевое соединение кислоты H_2SnCl_6 , в котором катион представляет собой протонированную по атому азота гетероцикла молекулу лиганда с внутримолекулярной водородной связью в арилальдиминовом фрагменте (рис. 16). Этот же комплекс был получен в качестве единственного продукта из смеси растворителей метанол : ацетонитрил = 1 : 1.

Наряду с физико-химическими исследованиями совместно с кафедрой микробиологии ОНУ имени И. И. Мечникова проводится скрининг впервые синтезируемых комплексов на проявляемую ими биологическую активность. Изучено влияние комплексов германия $[\text{Ge}(\text{R-Bs})_2]$ (**I–IX**) с R-замещёнными бензоилгидразонами 2-гидроксибензальдегида ($\text{R}-\text{H}_2\text{Bs}$, $\text{R} = 2-, 3-, 4-\text{Cl}-; 2-, 3-, 4-\text{NO}_2-$; $2-, 3-, 4-\text{OH}$) на экссудативное воспаление, которое вызвано у бесспородных мышь различными флогогенными агентами [37, 43, 46, 53, 80]. Для комплексов хлор-, гидрокси- и нитропроизводных получены соответствующие ряды активности: $3-\text{Cl}(\text{II}) > 2-\text{Cl}(\text{I}) > 4-\text{Cl}(\text{III})$; $4-\text{NO}_2(\text{VI}) > 3-\text{NO}_2(\text{V}) > 2-\text{NO}_2(\text{IV})$; $2-\text{OH}(\text{IX}) > 4-\text{OH}(\text{VIII}) > 3-\text{OH}(\text{VII})$.

В настоящее время начаты исследования антимикробной активности никотиноил-(изоникотиноил)гидразонов 2-гидроксибенз-(-1-нафт)альдегидов и комплексов на их основе: $[\text{SnCl}_3(\text{Ns-H})]$ (**XX**), $[\text{SnCl}_3(\text{Is-H})]$ (**XXI**) и $[\text{SnCl}_3(\text{Nnf-H})]$ (**XXVI**), $[\text{SnCl}_3(\text{Inf-H})]$ (**XXVII**) и $[\text{H}_2\text{Inf}\cdot\text{H}]_2[\text{SnCl}_6]$ (**XXVIII**), а также $[\text{Ge}(\text{Ns})_2]$ (**XXIX**), $[\text{Ge}(\text{Is})_2]$ (**XXX**), $[\text{Ge}(\text{Nnf})_2]$ (**XXXI**), $[\text{Ge}(\text{Inf})_2]$ (**XXXII**), полученных кипячением в воде соединений (**VII**, **XVIII**, **XXII**, **XXIV**) с гидрохлоридной формой лиганда, на штаммах бактерий *Staphylococcus aureus* ATCC 25923, *Bacillus subtilis* ATCC 6633, *Micrococcus luteus* ATCC 4698, *Escherichia coli* ATCC 25922, *Proteus vulgaris* ATCC 6896 и *Pseudomonas aeruginosa* ATCC 27853, рекомендованных как стандартные для исследования антимикробной активности веществ.

К основным выводам можно отнести:

- изученные гидразоны в полученных комплексах германия и олова связываются с комплексообразователем тридентатно-циклически через азометиновый атом азота и кислороды оксиазинной и окси-групп; при наличии в гидразидном фрагменте молекулы вакантного донорного атома азота лиганды координируются в протонированной форме; возникающий при этом положительный заряд компенсируется отрицательным, сосредоточенным на атоме олова, а в случае комплексов германия — анионом Cl^- : $[\text{SnCl}_3(\text{Ls}\cdot\text{H})]$, $[\text{GeCl}_2(\text{CH}_3\text{OH})(\text{Ls}\cdot\text{HCl})]$;
- независимо от заместителя в гидразидном фрагменте R-бензоилгидразонов 2-гидроксибенз(-1-нафт)альдегидов ($R = \text{H}$, 2-OH , 2-NO_2 , 2-Cl) в спиртовой среде с GeCl_4 образуются бисхелаты одинакового состава $[\text{Ge}(\text{R-Bs})_2]$ и $[\text{Ge}(\text{R-Bnf})_2]$; в случае $R = 2\text{-NH}_2$ — трёхионные электролиты, $[\text{Ge}(2\text{NH}_2\text{-Bs}\cdot\text{HCl})_2]$ и $[\text{Ge}(2\text{NH}_2\text{-Bnf}\cdot\text{HCl})_2]$;
- взаимодействии SnCl_4 с $2\text{NH}_2\text{-H}_2\text{Bs}$ и $2\text{NH}_2\text{-H}_2\text{Bnf}$, в отличие от GeCl_4 , приводит к образованию смешаннолигандных комплексов эквимолярного состава — $[\text{SnCl}_3(2\text{NH}_2\text{-Bs}\cdot\text{H})]\cdot 2\text{CH}_3\text{OH}$, $[\text{SnCl}_3(2\text{NH}_2\text{-Bnf}\cdot\text{H})]\cdot 2\text{CH}_3\text{OH}$;
- с пиридиноилгидразонами 2-гидроксибензальдегида (α -, β -, $\gamma\text{-H}_2\text{Ls}$) в зависимости от положения гетероциклического азота с GeCl_4 в метаноле образуются комплексы разного состава: для α - β — $[\text{GeCl}_2(\text{CH}_3\text{OH})(\text{Ls}\cdot\text{HCl})]\cdot n\text{CH}_3\text{O}$ H и $[\text{Ge}(\text{Ls}\cdot\text{HCl})_2]$, а для $\gamma\text{-H}_2\text{Ls}$ — только бисхелат $[\text{Ge}(\gamma\text{-Ls}\cdot\text{HCl})_2]$; комплексы такого же состава независимо от положения атома азота гетероцикла образуются в случае пиридиноилгидразонов 2-гидрокси-1-нафтальдегида (H_2Lnf) — $[\text{Ge}(\text{Lnf}\cdot\text{HCl})_2]$;
- с SnCl_4 рассмотренные пиридиноилгидразоны реагируют в метаноле с образованием эквимолярных комплексов $[\text{SnCl}_3(\text{Ls}\cdot\text{H})]$ и $[\text{SnCl}_3(\text{Lnf}\cdot\text{H})]$; добавление к спиртовой среде ацетонитрила (1 : 1) только в случае $\gamma\text{-H}_2\text{Lnf}$ приводит к изменению состава продукта реакции — образуется октаэдрический гексахлорстаннат с органическим катионом $[\gamma\text{-H}_2\text{Lnf}\cdot\text{H}]_2[\text{SnCl}_6]$;
- координационный полиэдр в изученных комплексах германия и олва независимо от их состава представляет собой искаженный октаэдр, который превращается в тригональную бипирамиду при дегидрохлорировании эквимолярных комплексов олва с николиноил-(никотиноил)гидразонами, что не характерно для германия;
- Обнаружено, что противовоспалительное действие комплексов германия (I–IX) одинакового качественного и количественного состава меняется в зависимости от положения в их молекулах заместителей, ответственных за фармакологическое действие. По эффективности их можно отнести к потенциальным перспективным противовоспалительным препаратам;
- Установлено, что комплексы олва и германия характеризуются высокой противомикробной активностью по отношению к штаммам бактерий *Escherichia coli ATCC 25922*, *Proteus vulgaris ATCC 6896* и *Pseudomonas aeruginosa ATCC 27853*.

Можно констатировать, что накопленный экспериментальный материал по составу, структуре, физико-химическим свойствам и биологической активности ряда рассматриваемых координационных соединений германия(IV) и олва(IV) свидетельствуют о перспективности дальнейших исследований в этом направлении. Хочется отметить, что совместная деятельность химиков, биологов, медиков, фармацевтов, экологов на базе современных методов исследования координационных соединений является залогом успеха этой области науки.

Литература

1. Кимаев Ю. П., Бузыкин Б. И. Гидразоны. – М.: Наука, 1974. – 416 с.
2. Комплексы переходных металлов с гидразонами / В. А. Коган, В. В. Зеленцов, Г. М. Ларин, В. В. Луков; Под ред. А. Ю. Цивадзе. – М.: Наука, 1990. – 109 с.
3. Dutta R. L., Hossain Md., Munkir Coordination chemistry. Chemistry of acyl, aroyl, heteroaroylhedrazones and related ligands // J. of Scientific and Ind. Research. – 1985. – Vol. 44. – P. 635–674.
4. Гарновский А. Д., Васильченко И. С., Гарновский Д. А. Современные аспекты синтеза металлокомплексов. Основные лиганды и методы. – Ростов н/Д: ЛаПО, 2000. – 354 с.
5. Iskander M. F., Sayed L. El. Coordination compounds of hydrazine derivatives with transition metals. Cobalt (II) aroylhydrazone complexes // Inorg. Chim. Acta. – 1976. – Vol. 16, № 2. – P. 147–157.
6. Sayed E. El., Iskander M. F. Coordination compounds of hydrazine derivatives with transition metals. III. The reaction of aroyl hydrazones with Ni(II) and Cu(II) salts // J. Inorg. and Nucl. Chem. – 1971. – Vol. 33, № 2. – P. 435–443.
7. Biradar N. S., Hawinale B. R. Octahedral (sp^3d^2) nickel(II) complexes of aroylhydrazones // Curr. Sci. – 1976. – Vol. 45, № 17. – P. 612–616.
8. Координаційні сполуки Rh(II) з гідразонами саліцилового альдегіду, їх будова та використання / С. В. Волков, С. І. Орисик, В. І. Пехньо, С. Ю. Чундак, Ф. Сениресье / Тез. доп. XV Укр. конф. з неорг. хімії за міжнародною участю. – К. : ВПЦ «Київ. ун-т». – 2001. – С. 11.
9. Гідразоны как лиганды новых координационных соединений Ru(III) и Pb(II) / Л. Н. Рыбачук, В. И. Пехньо, С. И. Орысык, С. В. Волков, Л. Б. Коваль // Тез. XXI Междунар. Чугаев. конф. по коорд. химии. – К.: ВПЦ «Київ. ун-т». – 2003. – С. 352–353.
10. Dimeric tetrahedral complexes of manganese(II) and iron(II) with benzoyl hydrazones / D. K. Rastogi, S. K. Sahni, V. B. Rana, S. K. Dua // Transit. Metal Chem. – 1978. – Vol. 3, № 1. – P. 56–60.
11. Dimeric 5- and 6-coordinate manganese(III) and cobalt(III) complexes of benzoyl hydrazones / D. K. Rastogi, S. K. Sahni, V. B. Rana, S. K. Dua // J. coord. Chem. – 1976. – Vol. 8. – P. 97–100.
12. Dimeric pentacoordinate trivalent iron complexes of benzoyl hydrazones / D. K. Rastogi, S. K. Dua, V. B. Rana, S. K. Sahni // J. Inorg. Nucl. Chem. – 1978. – Vol. 40, № 7. – P. 1323–1326.
13. Narang K. K., Yadav U. S. Vanadium (III) complexes of N-salicylaldiminebenzamide-, salicylalamide-, antranylamide- and disalicylaldimineantranylamide // Indian J. Chem. – 1981. – Vol. 20A, № 4. – P. 404–405.
14. Dimeric 5-coordinate oxovanadium(IV) complexes of tridentate benzoylhydrazones / D. K. Rastogi, S. K. Sahni, V. B. Rana, K. Dua, S. K. Dua // J. Inorg. and Nucl. Chem. – 1979. – Vol. 41, № 1. – P. 21–24.
15. Syamal A., Kale K. S. Magnetic and spectral properties of Cu(II) complexes of some tridentate dibasic ligands having O,N,O donor atoms // Indian J. Chem. – 1978. – Vol. A16, № 1. – P. 46–51.
16. Co(II) complexes of benzoylhydrazones of salicyclaldehyde, o-hydroxyacetophenone, o-hydroxypropiophenone, o-hydroxybutyrophenone, and 2-hydroxy-1-naphtaldehyde / D. K. Rastogi, S. K. Sahni, V. B. Rana, S. K. Dua // Indian J. Chem. – 1978. – Vol. A16, № 1. – P. 86–88.
17. Complexes of uranium(IV) acetate with hydrazones. Synthesis and reactions / J. M. Aminabhour, N. S. Bradar, G. V. Karajagi, V. J. Roddabsandguadar // Inorg. and Metalorg. Chem. – 1984. – Vol. 14, № 6. – P. 763–771.
18. Khattab M. A., Tikry M. Cobalt(II) and copper(II) complexes of some α -(o-hydroxyphenyl)ethylidene acyl and aroylhydrazones // Inorg. Nucl. Chem. (Notes). – 1981. – Vol. 43, № 11. – P. 3009–3011.
19. Biradar N. S., Mahale V. B., Hawinale B. R. Four and six coordinate complexes of Zn(II) with aroyl hydrazones // Rev. roum. chem. – 1978. – Vol. 23, № 1. – P. 55–61.
20. Narang K. K., Aggarwal A. Salicylaldehyde salicylhydrazone complexes of some transition metal ions // Inorg. Chim. Acta. – 1974. – Vol. 9. – P. 137–148.
21. Aggarwal R. C., Singh N. K., Singh R. P. Magnetic and spectroscopic studies on N-(picolinamido)salicylaldimine. Complexes of some bivalent 3d metal ions // Inorg. Chem. – 1981. – Vol. 20. – P. 2794–2798.
22. Dutta R. L., Sarkar A. K. A study of some transition metal complexes of salicylidene 2-picolyld hydrazone Schiff base and related ligands // J. Inorg. Nucl. Chem. – 1981. – Vol. 43. – P. 57–67.
23. Dutta R. L., Hossain Md. M. Synthesis and characterization Zn(II), Cd(II) and Cu(II) complexes with salicylaldehyde picolinoylhydrazone // Indian J. Chem. – 1982. – Vol. 21A. – P. 746.
24. Teotia M. P., Gurtu J. N., Rana V. B. Structure and characterization oxovanadium(IV) complex of 2-picolyld hydrazone of o-hydroxyacetophenone // Indian J. Chem. – 1980. – Vol. 19A. – P. 133–136.

25. Кристаллическая структура двух диоксокомплексов молибдена(VI) с основаниями Шиффа – ацилгидразонами салицилового альдегида, $\text{MoO}_2\text{L}\text{-MeOH}$ и салицилальизоникотиноилгидразона H_2L / В. С. Сергиенко, В. Л. Абраменко, Л. Х. Миначева, М. А. Порай-Кошиц, В. Г. Сахарова // Коорд. химия. – 1993. – Т. 19, № 1. – С. 28–32.
26. Narang K. K., Aggarwal A. A study of some transition metal complexes of N-(isonicotinoyl)salicylaldimine // Indian J. Chem. – 1975. – Vol. 13. – P. 1072.
27. Сухарев С. М. Аналітичне використання іонних асоціатів алломінію з гідрозонами та основними барвниками: Автореф. дис... канд. хім. наук: 02.00.02 / Укр. держ. хім.-тех. ун-т. – Дніпропетр., 1998. – 16 с.
28. Benzoyl salicylalhydrazone as an analytical reagent for gravimetric determination of copper (II) / D. K. Rastogi, S. K. Dua, Prakash Shri, R. P. Singh // Analysis. – 1973-1974. – Vol. 2, № 9. – P. 661–663.
29. Srivastav A., Singh N. K., Singh S. M. Synthesis, characterization and antitumor studies of Mn(II), Ni(II), Cu(II), and Zn(II) complexes of N-nicotinoyl-N'-o-hydroxythiobenzhydrazide // Biometals. – 2003. – Vol. 16, № 2. – P. 501–506.
30. Зеленин К. Н., Хорссеева Л. А., Алексеев В. В. Физиологически активные комплексы гидразонов // Хим.-фарм. журн. – 1992. – Т. 26, № 5. – С. 30–36.
31. Координационные соединения некоторых 3d-элементов с бензоилгидразонами салицилового альдегида и их противомикробная активность / Н. М. Самусь, В. И. Присакарь, В. И. Цапков, С. А. Бурачева, А. П. Гуля // Тез. XXI Междунар. Чугаев. конф. по коорд. химии. – К.: ВПЦ «Київ. ун-т». – 2003. – С. 356–357.
32. Орысык С. И., Пехньо В. И., Рыбачук Л. Н. Синтез, особенности строения, перспективы применения комплексов Ru (III), Rh (III) и Pd (II) с лигандами гидразонового класса // Тез. XXI Междунар. Чугаев. конф. по коорд. химии. – К.: ВПЦ «Київ. ун-т». – 2003. – С. 107–109.
33. Синтез и противомикробная активность координационных соединений 3d-элементов с бензоилгидразоном салицилового альдегида / К. М. Самусь, В. И. Цапков, Т. А. Бурденко, С. А. Бурачева, М. М. Тонгай, Ш. И. Сохан // Проблемы фармакологии. – 1990. – № 3 – С. 41–45.
34. Шматкова Н. В., Сейфуллина И. И., Гудимович Т. Ф. Координационные соединения германия с хлорзамещенными бензоилгидразонами салицилового альдегида // Вопр. химии и хим. техн. – 2003. – № 2. – С. 20–23.
35. Координационные соединения германия (IV) с салицилальгидразонами бензойной кислоты и ее гидроксопроизводных / Н. В. Шматкова, И. И. Сейфуллина, А. В. Мазепа, В. В. Багрицкий // Укр. хим. журн. – 2001. – Т. 67, № 6. – С. 65–70.
36. Сейфуллина И. И., Шматкова Н. В., Мазепа А. В. Координационные соединения германия(IV) с нитрозамещенными бензоилгидразонами салицилового альдегида // Коорд. химия. – 2002. – Т. 28, № 1. – С. 17–20.
37. Протизапальна активність комплексів германію з саліцилальгідрозонами нітробензойної кислоти / І. Й. Сейфулліна, О. В. Нікітін, Б. М. Галкін, Н. В. Шматкова та ін. // Одеський медичний журн. – 2003. – №3, вып. 77. – С. 21–23.
38. Сейфуллина И. И., Шматкова Н. В., Старикова З. А. Синтез и характеристика комплексов германия(IV) с изоникотиноилгидразоном салицилового альдегида (H_2Is). Кристаллическая и молекулярная структура $[\text{Ge}(\text{HIs})\text{Cl}_3]\text{CH}_3\text{COCH}_3$ // Журн. Неорган. химии. – 2001. – Т. 46, № 8. – С. 1282–1289.
39. Сейфуллина И. И., Шматкова Н. В., Старикова З. А. О комплексообразовании GeCl_4 с салицилальгидразонами β - и γ -пиридинкарбоновых кислот (H_2Ns , H_2Is) в метаноле. Кристаллическая и молекулярная структура $[\text{GeCl}_2(\text{NsHCl})\text{CH}_3\text{OH}]\text{CH}_3\text{OH}$ // Журн. неорган. химии. – 2004. – Т. 49, № 3. – С. 401–407.
40. Сейфуллина И. И., Шматкова Н. В., Марцинко Е. Э. Особенности комплексообразования тетрахлорида германия с азот- и кислородсодержащими амполидентантными лигандами // Коорд. химия. – 2004. – Т. 30, № 3. – С. 228–234.
41. Шматкова Н. В., Сейфуллина И. И., Гудимович Т. Ф. Разнолигандные комплексы германия с пиколинойл- и арилгидразонами диметиламинобензальдегида // Тез. Докл. XX Междунар. Чугаев. Конф. по коорд. химии. – Ростов-на-Дону. – 2001. – С. 514.
42. Shmatkova N. V., Seifullina I. I. Germanium(IV) complexes with substituted o-oxybenzaldehyde benzoylhydrazones // Poster Abstract 35th International Conf. on Coord. Chem. ICCC 35. – Heidelberg. – 2002. – P. 646.
43. Germanium complexes with substituted pyridincarbonic acids hydrazones as anti-inflammatory agents / I. I. Seifullina, N. Shmatkova, B. Galkin, A. Nikitin // Poster Abstract 7th Intern. Symp. on Applied Bioinorg. – Mexico. – 2003. – P. 96.

44. Сейфуллина И. И., Шматкова Н. В., Марцинко Е. Э. Особенности комплексообразования тетрахлорида германия с азот- и кислородсодержащими амполидентатными лигандами // Тез. докл. XXI Междунар. Чугаев. Конф. по корд. химии. – К., 2003. – С. 119.
45. Шматкова Н. В., Сейфуллина И. И., Старикова З. А. Состав и особенности строения комплексов Ge(IV) с дифенилкарбазоном и салицилальгидразонами α -, β -, γ -пиридинкарбоновых кислот // Тез. докл. XXI Международной Чугаевской конференции по координационной химии. Киев, 10–13 июня 2003 г. – К., 2003. – С. 422.
46. Вивчення впливу комплексів германію(IV) з саліцилальгідрозонами хлорбензойної та гідроксібензойної кислоти на ексудативне запалення, яке викликано різними флогогенними агентами / О. В. Нікітін, Б. М. Галкін, І. Й. Сейфулліна, Н. В. Шматкова // Biomedical and Biosocial Anthropology. – 2004. – № 3. – С. 81–83.
47. Шматкова Н. В., Сейфуллина И. И., Вербецкая Т. Г. Синтез, строение и свойства комплексов германия(IV) с бензоил-, о-аминобензоилгидразонами 2-гидрокисинафтальдегида // Вісник ОНУ. – 2004. – Т. 9, вип. 6. – С. 7–14.
48. Шматкова Н. В., Сейфуллина И. И., Ткаченко В. Н. Синтез и превращение комплексов германия(IV) с салицилальгидразоном о-аминобензойной кислоты ($2\text{-NH}_2\text{-H}_2\text{Bs}$) в спиртовых средах. Структура $[\text{Ge}(2\text{-NH}_2\text{-Bs})_2]_0\text{,5CH}_3\text{OH}$ // Вопр. хими и хим. техн. – 2004. – № 6. – С. 33–37.
49. Сейфуллина И. И., Шматкова Н. В., Старикова З. А. О комплексообразовании GeCl_4 с α -, β -, γ -пиридиноил-(o-R-бензоил)гидразонами салицилового альдегида (H_2Ls , R-H₂Bs, где R=H, OH, NH₂) в бензоле. Кристаллическая и молекулярная структура $[\text{Ge}(2\text{-NH}_2\text{-Bs})_2]\text{CH}_3\text{OH}$ // Журн. неорган. химии. – 2005. – Т. 50, № 7. – С. 992–998.
50. Сейфуллина И. И., Шматкова Н. В., Старикова З. А. Особенности взаимодействия GeCl_4 с пиколиноилгидразоном салицилового альдегида (H_2Ps). Кристаллическая и молекулярная структура $[\text{GeCl}_2(\text{CH}_3\text{OH})(\text{Ps-HCl})]_0\text{,5CH}_3\text{OH}$ // Журн. неорган. химии. – 2005. – Т. 50, № 11. – С. 1676–1682.
51. Шматкова Н. В., Сейфуллина И. И., Ткаченко В. Н. Синтез и физико-химическое исследование комплексов германия(IV) с салицилальгидразонами аминозамещенных бензойной кислоты // Укр. хим. журнал. – 2005. – Т. 71, № 1. – С. 23–27.
52. Shmatkova N. V., Seifullina I. I., Starikova Z. A. Synthesis and structure of supamolecular architectures on the base of Germanium(IV) complexes with α -, β -, γ -pyridinecarboxylic acids hydrazides salicylalhydrazones // Poster Abstract Second Intern. Symp. "Molecular Desing and Synthesis of Supramolecular Architectures". – Kasan, Russia. – 2004. – Р. 147.
53. Вивчення механізму ексудативної дії комплексів германію(IV) з саліцилальгідрозонами хлорбензойної та гідроксібензойної кислоти / О. В. Нікітін, Б. М. Галкін, І. Й. Сейфулліна, Н. В. Шматкова // Тез. доп. IV Укр. конф. "Актуальні питання фармакології". – Вінниця. – 2004. – С. 102.
54. Сейфуллина И. И., Шматкова Н. В., Марцинко Е. Э. Синтетические аспекты координационной химии германия(IV) с гидразонами и комплексонами // Тез. докл. XXII Междунар. Чугаев. Конф. по корд. химии. – Кишинев. – 2005. – С. 185.
55. Шматкова Н. В., Сейфуллина И. И., Гудимович Т. Ф. Взаимодействие GeCl_4 с α -, β -, γ -пиридиноил- и 2-R-бензоилгидразонами (R = H, OH, NH₂) 2-гидроксинафтальдегида в неводных средах // Тез. докл. XXII Междунар. Чугаев. Конф. по корд. химии. – Кишинев. – 2005. – С. 559.
56. Supramolecular assemblies of Ge(IV) complexes with 2-hydroxynaphthaldehyde pyridinoylhydrazones hydrates / N. V. Shmatkova, I. I. Seifullina, O. V. Shishkin, R. I. Zubatiuk // IV International Symposium «Design and synthesis of supramolecular architectures». – Kazan, Russia, 2006. – P. 150.
57. X-ray structure new Sn(IV) chelates with picolinoylhydrazones of 2-hydroxybenz-and 2-hydroxynaphthaldehydes / N. V. Shmatkova, I. I. Seifullina, O. V. Shishkin, R. I. Zubatiuk // XV-th Intern. Conf. "Physical Methods in Coordination and Supramolecular Chemistry"-Chișinău, R. Moldova – 2006. – Р. 178.
58. Бисхелаты Ge(IV) с пиридиноилгидразонами 2-гидроксинафтальдегида. Кристаллическая и молекулярная структура комплекса с изоникотиноилгидразоном (H_2Inf) – $[\text{Ge}(\text{Inf-HCl})_2] \cdot 5\text{H}_2\text{O}$ / И. И. Сейфуллина, Н. В. Шматкова, О. В. Шишкін, Р. І. Зубатюк // Журн. неорган. химии. – 2007. – Т. 52, № 4. – С. 486.
59. Сейфуллина И. И., Шматкова Н. В. Бензоил-(пиридиноил)гидразоны ароматических альдегидов в реакциях комплексообразования с тетрахлоридами германия и олова. // Тез. XXIII Междунар. Чугаев. Конф. по корд. химии. – Одесса. – 2007. – С. 47–49.

60. Шматкова Н. В., Сейфуллина И. И., Старикова З. А. Состав и строение продуктов комплексообразования SnCl_4 с изоникотиноилгидразоном 2-гидрокси-нафтальдегида в различных растворителях. // Тез. XXII Междунар. Чугаев. Конф. по коорд. химии. – Одесса. – 2007. – С. 755–756.
61. Шматкова Н. В., Сейфуллина И. И. Синтез координационных соединений в системах SnCl_4 – пиридиноилгидразоны 2-гидрокси-1-нафтальдегида- CH_3OH (CH_3CN , $\text{CH}_3\text{OH} : \text{CH}_3\text{CN}$) // Междунар. конф. по химии и хим. техн. Сборник матер. – Ереван. – 2007. – С. 274.
62. Биологическая активность соединений германия / Э. Я. Луквиц, Т. К. Гар, Л. М. Игнатович, В. Ф. Миронов / Под ред. Э. Я. Луквица. – Рига: Зинатне, 1990. – 151 с.
63. Новые биологически активные вещества на основе германия / И. И. Сейфуллина, В. И. Кресюн, В. В. Годован, Б. А. Волошенков // Тези доп. конф. “Клінічна фармація в Україні”. – Харків, 2000. – Т.4, № 4. – С. 66.
64. Влияние координационных соединений германия на синтез и активность ферментов / И. И. Сейфуллина, Е. Э. Марцинко, О. А. Батракова, Л. Д. Варбанец // Мікробіол. журн. – 2002. – Т. 64, № 4. – С. 3–11.
65. Нейрофармакологічний аналіз активності нових координаційних сполук германію з біолігандами / В. Й. Кресюн, П. Б. Антоненко, В. В. Годован, І. Й. Сейфулліна // Вісник психіатрії та психофармтерапії. – 2002. – № 2. – С. 28–34.
66. Rashed L. J., Aziz A. A., Sulayman K.D. Antibacterial activity of diorganotin(IV) complexes of some shiff-base derivatives // Asian J. Chem. 2 – 1998. – Vol. 10. – P. 338–341.
67. Singh H. L., Varshney S., Varshney A. K. Organotin(IV) complexes biologically active Schiff base derived from heterocyclic ketones and sulpha drugs // Appl. Organomet. Chem. – 1999. – Vol. 13. – P. 637–641.
68. Malhotra Rajesh, Kumar Sudhir, Dhindsa Kuldeep Singh. Synthesis, characterization and antimicrobial activity of organotin and organosilicon complexes of substituted hydrazones // Indian J. Chem. – 1997. – Vol. 4A. – P. 321–323.
69. Bacchi A., Bonatti A., Carelli M. Organotin complexes pyrrole-2,5-dikarboxaldehyde bis (acylhydrazones). Synthesis, structure antimicrobial activity and genotoxicity // J. Inorg. Biochem. – 1998. – Vol. 69. – P. 101–112.
70. Synthesis, characterization and structural studies of diorganotin(IV) complexes with Schiff base ligand salicyl-aldehyde isonicotinylhydrazone / Han Dong Yin, Min Hong, Gang Li, Da Qi Wang // J. of Organometallic Chem. – 2005. – Vol. 690, № 11 – P. 3714–3719.
71. Pelizzetti C., Pelizzetti G. Coordinative interaction involving dichlorodiphenyltin(IV) and tin tetrachloride with polydentate N,O-ligands // Inorg. Chim. Acta. – 1976. – Vol. 18, № 2. – P. 139–144.
72. Aggarwall R. C., Varaprasada Rao D. S. S. Synthesis and characterization of tin(IV) halide and organotin(IV) chloride complexes of N-(picolinamido)salicylaldimine // Indian J. Chem. – 1981. – Vol. 20A. – P. 855.
73. Aggarwal R. C., Varaprasada Rao D. S. S. Studies on tin(IV) halide and organo-tin(IV) chloride complexes of salicylaldehyde isonicotinoyl and nicotinoyl hydrazones // Indian J. Chem. – 1982. – Vol. 21A. – P. 735–737.
74. Вейган-Хильгета. Методы эксперимента в органической химии: Пер. с нем. – М.: Химия, 1968. – 944 с.
75. Рипан Р., Четяну И. Неорганическая химия. Химия металлов. Пер. с рум. – М.: Мир, 1971. – Т. 1. – 560 с.
76. Спичин В. И., Мартыненко Л. И. Неорганическая химия. – М.: МГУ, 1994. – 624 с.
77. Третьяков И. Л. Неорганическая химия. – М.: МГУ, 2004. – 324 с.
78. Гутман В. Химия координационных соединений в неводных средах. Пер. с анг. – М.: Мир, 1971. – 220 с.
79. Geary W. J. The use of conductivity measurements in organic solvents for the characterisation of coordination compounds // Coord. Chem. Rev. – 1971. – № 7. – P. 81–122.
80. Шматкова Н. В. Синтез, строение и свойства комплексных соединений германия(IV) с арилгидразонами гидразидов замещенных бензойных и пиридинкарбоновых кислот: Дис... канд. хим. наук: 02.00.01. – Одесса. – 2004. – 146 с.
81. Сейфуллина И. И. Растворяющие и комплексообразующие функции органических кислот в направленном синтезе координационных соединений: Дис... докт. хим. наук: 02.00.01. – Одесса, 1990. – 330 с.
82. Координаційні сполуки родію (ІІ) з саліциліденгідразонами карбонових кислот / С. І. Орисик, С. Ю. Чундак, С. В. Волков, В. І. Пехньо, Л. Б. Харькова // Укр. хим. журнал. – 2001. – Т. 67, № 1. – С. 3–7.

I. Й. Сейфулліна, Н. В. Шматкова

Одеський національний університет імені І. І. Мечникова,
хімічний факультет, кафедра загальної хімії та полімерів
вул. Дворянська, 2, Одеса, 65082, Україна

**НОВИЙ ЕТАП У РОЗВИТКУ КООРДИНАЦІЙНОЇ ХІМІЇ АРОЇЛ-
(ПРИДИНОЇЛ)ГІДРАЗОНІВ ЗАМІЩЕНИХ БЕНЗ-(1-НАФТ)АЛЬДЕГІДІВ**

Резюме

В обзорі приведено інформацію о способах координації бензоїл-(2-гідроксибензоїл, піридиноїл)гідразонів бенз-(2-гідроксибенз)альдегідів у комплексах з d-металами. Узагальнено результати систематичних досліджень взаємодії гідразонів заміщених бенз-(1-нафт)альдегідів з кислотами Льюїса – GeCl_4 , SnCl_4 у метанолі та ацетонітрилі, які проведенні авторами. Вперше синтезовано ~45 координаційних сполук германію та стануму (15 структур охарактеризовано методом PCA). Встановлено вплив структури гідразидного (R -бензоїл- $(\text{R}=\text{H}, \text{OH}, \text{NO}_2, \text{Cl}, \text{NH}_2)$, α -, β -, γ -піридиноїл) та альдегідного (бенз-, 4-диметиламінобенз-, 2-гідроксибенз-, 2-гідрокси-1-нафт-) фрагментів молекули гідразона, метало-комплексоутворювача (Ge(IV) та Sn(IV)), природи розчинника (CH_3OH , CH_3CN) на склад, будову комплексів і форму координованого ліганду. Показано перспективу застосування комплексів у якості протизапальних та антимікробних препаратів.

Ключові слова: кислота Льюїса (GeCl_4 , SnCl_4), германій(IV), станум(IV), гідразони, координаційні сполуки.

I. I. Seifullina, N. V. Shmatkova

Odessa National University, department of general chemistry and polymers,
Dvoryanskaya St., 2, Odessa, 65082

NEW STAGE IN DEVELOPMENT OF COORDINATION CHEMISTRY OF AROYL-(PYRYDINOYL)HYDRAZONES OF SUBSTITUTED BENZ-(1-NAPHTH)ALDEHYDES

Summary

The information on types of coordination of benzoyl-(2-hydroxybenzoyl-, pyridinoyl)-hydrazones of benz-(2-hydroxybenz)aldehydes in d-metal complexes is given in the review. The results of systematic investigations of interaction between hydrazones of substituted benz-(1-naphth)aldehydes and Lewis acids (GeCl_4 , SnCl_4) in methanol (acetonitrile)carried by authors, are generalized. About 45 germanium and tin compounds have been synthesized for the first time (15 of them – X-ray analysis). The influence of structure of hydrazide (R -benzoyl- $(\text{R} = \text{H}, \text{OH}, \text{NO}_2, \text{Cl}, \text{NH}_2)$, α -, β -, γ -pyridinoyl-) and aldehyde (benz-, 4-dimethylaminobenz-, 2-hydroxybenz-, 2-hydroxy-1-naphth-) trayments of hydrazone molecule, central ion(Ge(IV) , Sn(IV)), solvent nature (CH_3OH , CH_3CN) on composition, structure of complexes and ligands coordination form have been proved. The prospect of complexes use as anti-inflammatory and antimicrobial drugs have been shown.

Keywords: Lewis acids (GeCl_4 , SnCl_4), germanium(IV), tin(IV), hydrazones, coordination compounds.